

## КРАТКИЕ СООБЩЕНИЯ

УДК 535.37+548.00

© 1995

ЗОННАЯ СТРУКТУРА И ОПТИЧЕСКИЕ СПЕКТРЫ  
СЕГНЕТОПОЛУПРОВОДНИКА  $\text{Sn}_2\text{P}_2\text{S}_6$ *И.В.Китык, В.Ю.Фенчак, А.А.Грабар, В.Ю.Сливка*

Ужгородский государственный университет

(Поступило в Редакцию 29 апреля 1994 г.

В окончательной редакции 27 июля 1994 г.)

Монокристаллы  $\text{Sn}_2\text{P}_2\text{S}_6$  (пространственная группа  $Pc$ ) [1,2] сочетают в себе одновременно сегнетоэлектрические и полупроводниковые свойства. Их элементарная ячейка содержит две формульные единицы. Они имеют фазовый переход, а также необычные фотоиндуцированные изменения [3,4].

Для более глубокого понимания физических механизмов, обуславливающих столь необычные свойства, важно знать параметры зонной структуры. Более того, принципиальным является построение общей схемы расчетов зон для всей группы монокристаллов  $A_2B_2X_6$  (где A — Pb, Sn; B — P; X — S, Se) на основании упрощенного подхода, в особенности при оценках соответствующих твердых растворов. Проведение первопринципиальных «*ab initio*» расчетов для такого рода кристаллов является исключительно сложной задачей. Поэтому нами проводится поиск полуэмпирических моделей расчетов параметров зон. Главным критерием правильности проводимых расчетов является совпадение экспериментальных и теоретических спектров мнимой части диэлектрической проницаемости. Такой подход был эффективно применен при анализе оптических спектров и энергетических зон ряда сложных кристаллов [5].

В данной работе предлагается применить указанный подход для типичных представителей сегнетоэлектриков-полупроводников  $A_2B_2X_6$  — монокристаллов  $\text{Sn}_2\text{P}_2\text{S}_6$ . Исследуемые кристаллы выращивали методом химических транспортных реакций [6]. В качестве транспортера использовался йод. Температуры зон источника и кристаллизации составляли 875–903 К. Длительность роста составляла 5–6 суток. Кристаллы имели желто-оранжевую окраску и размер порядка  $4 \times 4 \times 5$  mm. Для измерений оптических спектров проводилась ориентация вдоль кристаллографических осей с помощью рентгеновского дифрактометра ДРОН-05. Для получения качественных оптических

поверхностей проводилась обработка поверхности до четырнадцатого класса чистоты.

Измерения спектров отражения в спектральной области 3–16 eV проводились с помощью источника синхротронного излучения с энергией 620 MeV. Монокроматором служил вакуумный монокроматор «Seya Numioka» с разрешающей способностью 7 Å/mm. В качестве фотоприемника использовалась ячейка салицилата натрия, связанная с фотоумножителем ФЭУ-100. Для получения спектров мнимой части диэлектрической проницаемости  $\epsilon_2(E)$  проводились расчеты по соотношениям Крамерса–Кронига с использованием двупараметрической степенной экстраполяции [7].

Расчеты проводились в 151 точке зоны Бриллюэна. Исходный блоховский базис включал 5s-, 5p-орбитали Sn, 3s-, 3p-орбитали P, 3s-, 3p-орбитали S. Исходные значения энергией ионизации соответствующих орбиталей были взяты из работы [8]. Секулярное уравнение имело вид

$$\|H_{il,jl'}(\mathbf{k}) - E(\mathbf{k})\delta_{il,jl'}\| = 0, \quad (1)$$

где  $H_{il,jl'}(\mathbf{k})$  — матрица гамильтониана,  $E(\mathbf{k})$  — собственные значения,  $\mathbf{k}$  — волновой вектор,  $i, j$  — сорта атомов,  $l, l'$  — орбитальные числа.

Матричные элементы между состояниями ближайших соседей могут быть записаны в виде

$$V_{ll'm}^{i,j} = \eta_{ll'm} \hbar^2 / (md_{ij}^2), \quad (2)$$

где  $\eta_{ll'm}$  — безразмерные коэффициенты, определяющие приближенные значения матричных элементов межатомного взаимодействия,  $d_{ij}$  — расстояние между  $i$ -м и  $j$ -м ядрами. При построении волновой функции некоторого состояния в зоне в виде линейной комбинации различных типов базисных функций для любых двух функций одного и того же типа коэффициенты при них связаны множителем  $\exp(i\mathbf{k}(\mathbf{r}_i - \mathbf{r}_j))$ , где  $\mathbf{k}$  — волновой вектор, характеризующий данное состояние, а  $\mathbf{r}_i$  и  $\mathbf{r}_j$  — положения атомов, орбитали которых входят в разложение.

Для каждого волнового вектора блоховская волновая функция имеет вид

$$\langle X_{il}(\mathbf{k}) \rangle = \sum_i \exp(i\mathbf{k}\tau_i) b_l(\mathbf{r} - \mathbf{r}_i) / N_p^{1/2}, \quad (3)$$

где  $N_p$  — число блоховских слагаемых,  $\tau_i$  — векторы трансляции. Тогда матрицу гамильтониана можно записать как

$$H_{il,jl'} = \langle X_{il}(\mathbf{k}) | H | X_{jl'}(\mathbf{k}) \rangle \quad (4)$$

или

$$H_{il,l'}(\mathbf{k}) = V_{ll'm} \sum_i \exp(i\mathbf{k}\tau_i). \quad (5)$$

Матрица гамильтониана эрмитова.

Диагонализация и расчеты собственных значений проводились QL-методом.

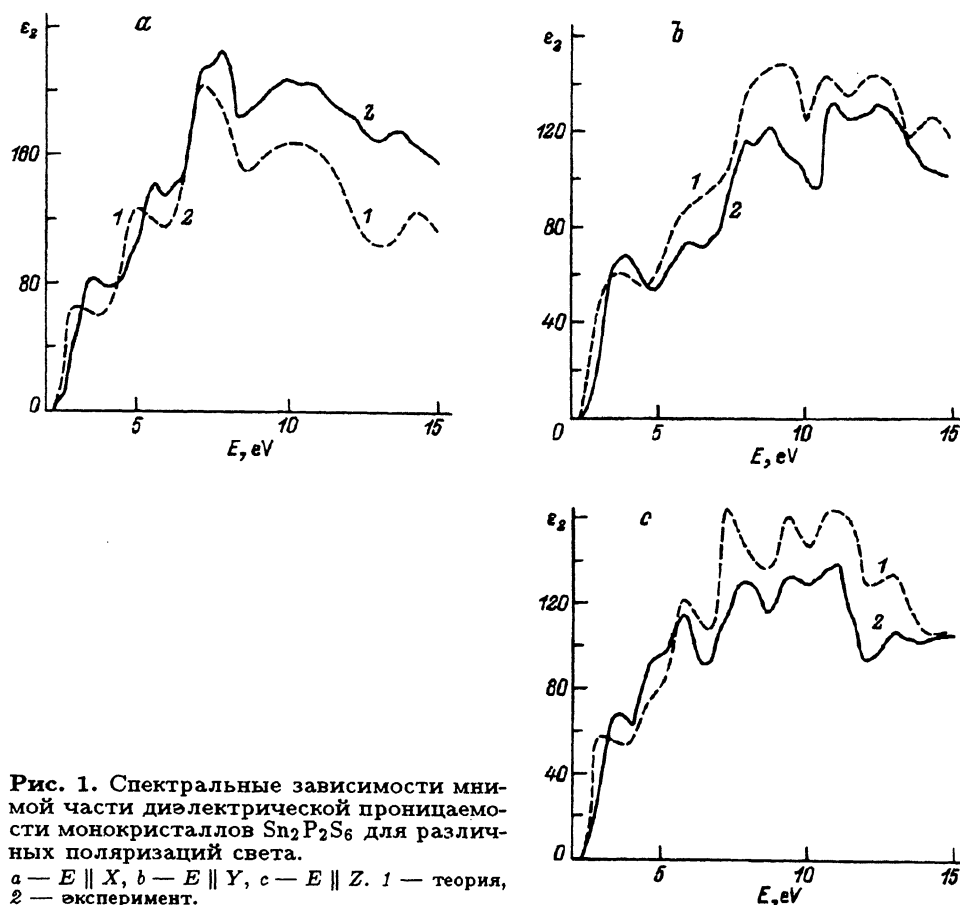


Рис. 1. Спектральные зависимости мнимой части диэлектрической проницаемости монокристаллов  $\text{Sn}_2\text{P}_2\text{S}_6$  для различных поляризаций света.  
 $a — E \parallel X$ ,  $b — E \parallel Y$ ,  $c — E \parallel Z$ . 1 — теория,  
2 — эксперимент.

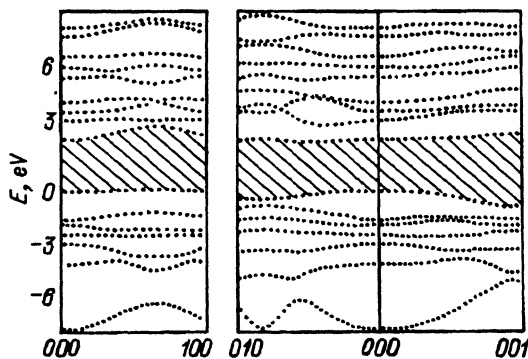


Рис. 2. Характерные дисперсии энергетических зон монокристаллов  $\text{Sn}_2\text{P}_2\text{S}_6$ .  
Обозначения точек  $E(k)$  зоны Бриллюэна общепринятые.

По полученному закону дисперсии  $E(\mathbf{k})$  проводились расчеты мнимой части диэлектрической проницаемости. Мнимая часть диэлектрической проницаемости вычисляется по формуле [9]

$$\epsilon_2(\omega) = e^2 \hbar^2 / m \sum_{ij} \left( \frac{2}{(2\pi)^3} \right) \int \frac{f_{ij}(\mathbf{k}) dS}{E_{ij} |\nabla_{\mathbf{k}} E_{ij}|}. \quad (6)$$

Здесь  $e$  и  $m$  — заряд и масса свободного электрона;  $\hbar$  — постоянная Планка,

$$f_{ij}(\mathbf{k}) = (2/3m) |\langle \mathbf{k}, i | P | \mathbf{k}, j \rangle|^2 E_{ij}^{-1} \quad (7)$$

— сила осциллятора для межатомного перехода,  $\langle \mathbf{k}, i | P | \mathbf{k}, j \rangle$  — диагональный матричный элемент перехода.  $E_{ij} = E_i - E_j = \hbar\omega$  — соответствующая энергия перехода, т.е. разность энергий конечного и начального состояний в зоне проводимости и валентной зоне соответственно, через  $S$  обозначена поверхность постоянной энергии перехода.

Структурный мотив кристалла  $\text{Sn}_2\text{P}_2\text{S}_6$  образуется двумя комплексами  $\text{P}_2\text{S}_6$  и четырьмя катионами  $\text{Sn}$ . Обе единицы симметрийно связаны плоскостью скольжения. Внутри этаноподобного комплекса  $[\text{P}_2\text{S}_6]$  преобладают ковалентные связи фосфор-фосфор и фосфор-серы. Анионы  $(\text{P}_2\text{S}_6)^4-$  и катионы  $\text{Sn}^{2+}$  связаны преимущественно ионным характером химической связи. При этом различные комплексы  $\text{P}_2\text{S}_6$  практически не образуют общей химической связи. Это позволяет в первом приближении, в особенности для ВУФ-спектров, пренебречь взаимным влиянием комплексов  $\text{P}_2\text{S}_6$ , что подтверждается результатами исследований колебательных спектров кристаллов данного типа [10, 11]. Поэтому при проведении первого этапа вычислений целесообразно ограничиться расчетом одной формульной единицы, т.е. двух катионов  $\text{Sn}$  и одного аниона  $\text{P}_2\text{S}_6$ .

Следствием такого упрощения является исчезновение элемента симметрии плоскости скольжения. Однако вследствие слабого взаимодействия между структурными элементами, относящимися к двум различным формульным единицам, можно ожидать, что положения энергетических уровней будут очень близкими к положениям уровней, описывающих зонную структуру двух формульных единиц. Различия могут оказаться существенными только при удалении от центра зоны Бриллюэна.

Справедливость данного подхода подтверждается сравнением рассчитанных спектров мнимой части диэлектрической проницаемости с экспериментальными спектрами (рис. 1). На этом рисунке приведены кривые  $\epsilon_2$  для трех различных поляризаций падающего излучения. Анализируя рис. 1, можно констатировать хорошее совпадение основных максимумов расчетного и экспериментального спектров.

На рис. 2 приведены основные характеристики дисперсии зон монокристалла  $\text{Sn}_2\text{P}_2\text{S}_6$  по основным направлениям зоны Бриллюэна. Они удовлетворительно согласуются с ранее проведенными расчетами ППВ методом [12].

Таким образом, можно констатировать перспективность данного подхода при идентификации соответствующих оптических спектров для целого класса сегнетоэлектриков группы  $A_2B_2X_6$ .

## Список литературы

- [1] Carpentier C.D., Nitsche R. Mat. Res. Bull. **9**, 1097 (1974).
- [2] Грабар А.А., Высочанский Ю.М., Сливка В.Ю. ФТТ **26**, *10*, 3086 (1984).
- [3] Тербан В.П., Семак А.Д., Грабар А.А. Модель переноса заряда в сегнетополупроводнике  $\text{Sn}_2\text{P}_2\text{S}_6$ . Сборник материалов оптоэлектроники (1991). В. 1.
- [4] Высочанский Ю.М., Фурцев В.Г., Хома М.М., Гурзан М.И., Сливка В.Ю. ЖЭТФ **89**, *3* (9), 939 (1985).
- [5] Довгий Я.О., Китык И.В. ФТТ **33**, *2*, 416 (1991).
- [6] Nitsche R. Wild. Mat. Bull. **5**, *6*, 419 (1970).
- [7] Довгий Я.О., Заморский М.К., Китык И.В. Препринт ФМИ АН УССР. № 122. (1986), 39 с.
- [8] Харрисон У. Электронная структура и свойства твердых тел. М. (1983). Т. 1.
- [9] Хейне В., Коэн М., Уэйр Д. Теория псевдопотенциала. М. (1973).
- [10] Гомонай А.В., Высочанский Ю.М., Грабар А.А., Сливка В.Ю. ФТТ **23**, *12*, 3623 (1981).
- [11] Ворошилов Ю.В., Высочанский Ю.М., Грабар А.А., Потори М.В., Приц И.И., Ризак В.М., Сельковская Л.А., Сливка В.Ю., Яценко А.В. УФЖ **35**, *1*, 71 (1990).
- [12] Влох Р.О., Китык И.В., Грабар А.А. Неорг. материалы **27**, *10*, 2052 (1991).

УДК 535.92:546.65

© Физика твердого тела, том 37, № 6, 1995  
Solid State Physics, vol. 37, N 6, 1995

## ОПТИЧЕСКИЕ ХАРАКТЕРИСТИКИ МОНОКРИСТАЛЛОВ $\text{Ce}_2\text{O}_3$

А.В.Голубков, А.В.Прокофьев, А.И.Шелих

Физико-технический институт им. А.Ф. Иоффе РАН, Санкт-Петербург  
(Поступило в Редакцию 21 октября 1994 г.)

Некоторые особенности окислов и халькогенидов редкоземельных элементов (РЗЭ) определяются вкладом их частично заполненных 4f-электронных оболочек в электронную структуру этих материалов.

Окислы и халькогениды с общей формулой  $\text{LnX}$ , где Ln — РЗЭ, X — кислород, сера и селен, представлены большой группой соединений с металлическим и полупроводниковым характером электрической проводимости. Их электрические, оптические и фотоэмиссионные свойства довольно подробно изучены и в основном объяснимы с учетом 4f-электронных состояний [1].

В полуторных соединениях  $\text{Ln}_2\text{X}_3$  ситуация менее ясна. Эти соединения являются изоляторами, и поэтому, как правило, наиболее исследованы их оптические свойства. При анализе свойств соединений РЗЭ, обусловливаемых влиянием 4f-оболочки, обычно проводится сравнение экспериментальных результатов, полученных для соединений, которые содержат РЗЭ с различной степенью заполнения 4f-оболочки или в которых этой оболочки нет. Например, проводились исследования таких окислов, как  $\text{Ho}_2\text{O}_3$ ,  $\text{Ev}_2\text{O}_3$ ,  $\text{Tm}_2\text{O}_3$ ,  $\text{Lu}_2\text{O}_3$  (от  $4f^{10}$  до  $4f^{14}$ ) и  $\text{Y}_2\text{O}_3$ , не имеющего 4f-электронов [2]. Подобие полученных спектров в области фундаментального поглощения света до 40 eV приводит к выводу о том, что вклад 4f-электронов в этих спектрах явно не обнаружен. Однозначно не решен вопрос о положении